

# Bézierjeve krivulje

Emil Žagar

Fakulteta za matematiko in fiziko, Univerza v Ljubljani

Matematično modeliranje



Slika: Prepoznate lik na sliki?



Slika: Kaj pa ta dva?



Slika: In te?

Ravninske parametrične krivulje

Ravninske Bézierjeve krivulje

de Casteljauov algoritem

Subdivizija

Zlepki

Drobtinica o ploskvah

Funkcije (ene spremenljivke) dobro poznamo:

$$f : [a, b] \rightarrow \mathbb{R}, \quad x \mapsto f(x).$$

Točka na grafu funkcije  $f$  je

$$\begin{pmatrix} x \\ f(x) \end{pmatrix}, \quad x \in [a, b].$$

Kaj pa če sta obe komponenti na grafu funkciji iste spremenljivke (**parametra**)  $t$ :

$$\begin{pmatrix} x(t) \\ y(t) \end{pmatrix}, \quad t \in I \subseteq \mathbb{R}.$$

## Predpisu

$$\mathbf{r} : I \rightarrow \mathbb{R}^2, \quad \mathbf{r}(t) = \begin{pmatrix} x(t) \\ y(t) \end{pmatrix}$$

rečemo **ravninska parametrična krivulja** ali natančneje **parametrizacija krivulje  $\mathbf{r}$** .

Podobno lahko definiramo parametrično krivuljo v več dimenzijah:

$$\mathbf{r} : I \rightarrow \mathbb{R}^d, \quad \mathbf{r}(t) = \begin{pmatrix} x_1(t) \\ x_2(t) \\ \vdots \\ x_d(t) \end{pmatrix}, \quad d \in \mathbb{N}.$$

Praktično so najpomembnejše parametrične krivulje, katerih **komponente so polinomi**:

- ▶ **preprosta predstavljivost** (seznam koeficientov),
- ▶ **hitro računanje** (denimo Hornerjev algoritem).

Polinome pa lahko zapišemo v **različnih bazah**, na primer:

- ▶ **standardna**:

$$\varphi_j(x) = x^j, \quad j = 0, 1, \dots, n,$$

- ▶ **Newtonova**:

$$\varphi_0(x) = 1,$$

$$\varphi_j(x) = (x - x_0)(x - x_1) \cdots (x - x_{j-1}), \quad j = 1, \dots, n,$$

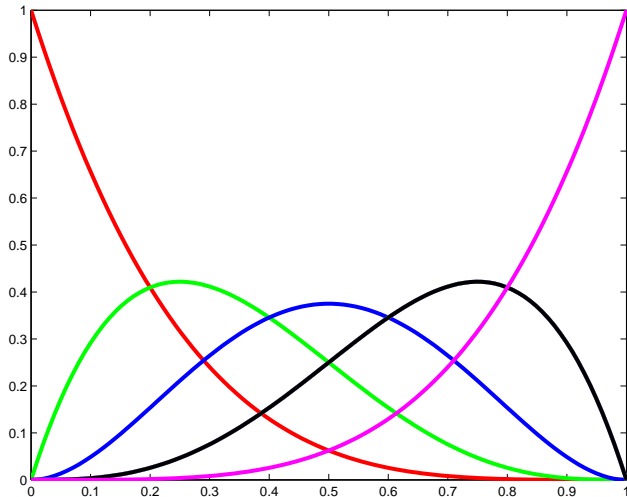
- ▶ **Bernsteinova**:

$$\varphi_j(x) = \binom{n}{j} x^j (1 - x)^{n-j}, \quad j = 0, 1, \dots, n,$$

▶ ...



- ▶ Vsaka baza ima svoje prednosti in pomanjkljivosti.
- ▶ Za računalniško podprto geometrijsko oblikovanje (ang. Computer Aided Geometric Design, oz. na kratko CAGD) je pomembna predvsem Bernsteinova baza.
- ▶ Podobna področja so še CAD (Computer Aided Design), CAM (Computer Aided Manufacturing), CNC (Computer Numerical Control).



Slika: Bazni Bernsteinovi polinomi stopnje 4 ( $B_0^4$  rdeče,  $B_1^4$  zeleno,  $B_2^4$  modro,  $B_3^4$  črno in  $B_4^4$  rožnato).

- ▶ Neodvisno jih v drugi polovici 20. stoletja razvijeta P.E. Bézier<sup>1</sup> in P. de Casteljau<sup>2</sup>.
- ▶ Temeljijo na Bernsteinovi bazi polinomov.
- ▶ Z razvojem računalnikov postanejo nesluteno uporabne.
- ▶ Dandanes so nepogrešljive v CAGD (animacije; avtomobilska, ladijska in letalska industrija; ...).
- ▶ Obstajajo številne posplošitve na ploskve in v več dimenzij.

---

<sup>1</sup>Pierre Étienne Bézier, 1910-1999, francoski razvojni inženir pri Renaultu.

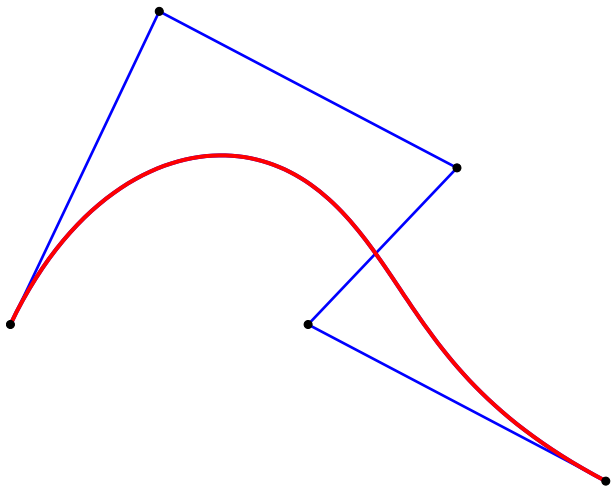
<sup>2</sup>Paul de Faget de Casteljau, 1930-1999, francoski razvojni inženir pri Citroënu.

- ▶ Izberimo zaporedje **točk** v ravnini  $\{\mathbf{P}_j\}_{j=0}^n$  in definirajmo

$$\mathbf{b}(t) = \sum_{j=0}^n \mathbf{P}_j B_j^n(t), \quad t \in [0, 1],$$

kjer so  $B_j^n$  Bernsteinovi polinomi.

- ▶ Krivulji  $\mathbf{b}$  rečemo **ravninska Bézierova krivulja**.
- ▶ Točkam  $\{\mathbf{P}_j\}_{j=0}^n$  pravimo **kontrolne točke**, poligonu, ki ga določajo, pa **kontrolni poligon**.



**Slika:** Bézierova krivulja stopnje 4 (rdeče) s kontrolnimi točkami

$$\mathbf{P}_0 = \begin{pmatrix} 0 \\ 0 \end{pmatrix}, \mathbf{P}_1 = \begin{pmatrix} 1 \\ 2 \end{pmatrix}, \mathbf{P}_2 = \begin{pmatrix} 3 \\ 1 \end{pmatrix}, \mathbf{P}_3 = \begin{pmatrix} 2 \\ 0 \end{pmatrix}, \mathbf{P}_4 = \begin{pmatrix} 4 \\ -1 \end{pmatrix}.$$

Bézierjeve krivulje imajo za oblikovanje nekaj pomembnih lastnosti:

- ▶ Prva in zadnja kontrolna točka sta interpolacijski

$$\mathbf{b}(0) = \mathbf{P}_0, \quad \mathbf{b}(1) = \mathbf{P}_n.$$

- ▶ Tangentna vektorja na krivuljo v začetni in končni točki sta

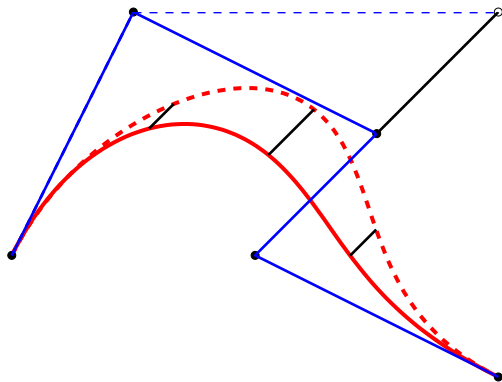
$$\mathbf{b}'(0) = n(\mathbf{P}_1 - \mathbf{P}_0), \quad \mathbf{b}'(1) = n(\mathbf{P}_n - \mathbf{P}_{n-1}).$$

- ▶ Krivulja leži v konveksni ovojnici kontrolnih točk.

- ▶ Če  $j$ -to kontrolno točko premaknemo za vektor  $\mathbf{v}$ , se točke na krivulji premaknejo za

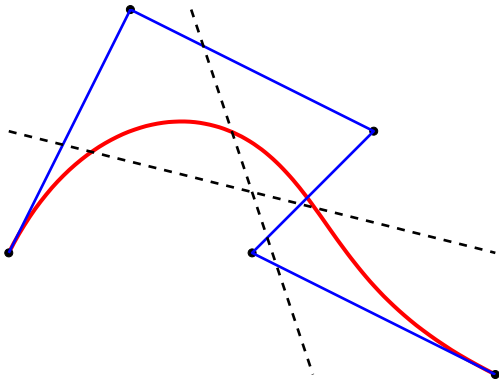
$$B_j^n(t) \mathbf{v}.$$

- ▶ Vsaka premica seka krivuljo **kvečjemu tolikokrat** kot kontrolni poligon.
- ▶ Afine transformacije lahko izvajamo **le na kontrolnih točkah** (uporabno recimo v PostScriptu).
- ▶ ...

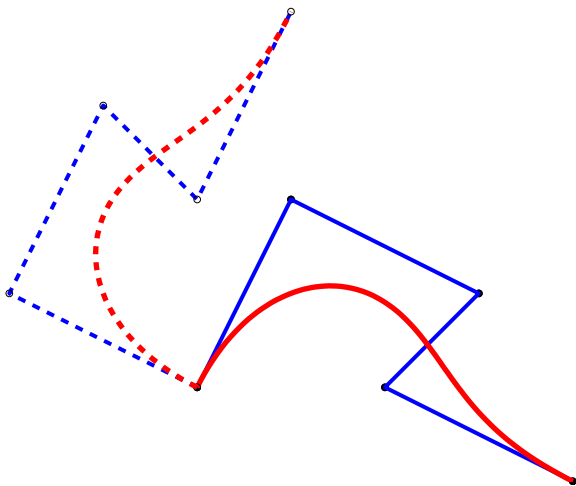


Slika: Premik tretje kontrolne točke Bézierjeve krivulje za vektor  $\mathbf{v} = \begin{pmatrix} 1 \\ 1 \end{pmatrix}$ .

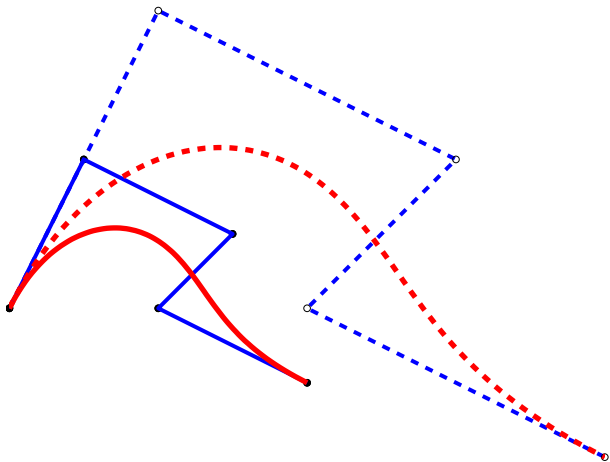




**Slika:** Premica lahko seka krivuljo kvečjemu tolikokrat kot kontrolni poligon.



**Slika:** Rotacija Bézijerjeve krivulje za  $90^\circ$  okrog prve kontrolne točke v pozitivni smeri.



Slika: Skaliranje Bézijerjeve krivulje za faktor 2.

- ▶ Osnovna naloga pri Bézierovih krivuljah je računanje točk na krivulji.
- ▶ Neposredni račun je na dlani: **izberemo parameter**  $t \in [0, 1]$  in izračunamo

$$\mathbf{b}(t) = \sum_{j=0}^n \mathbf{P}_j B_j^n(t).$$

- ▶ Žal je tak način **časovno prezahteven in nestabilen**.
- ▶ Obstaja alternativa, **de Casteljauov algoritem**

Oglejmo si primer: dane so kontrolne točke

$$\mathbf{P}_0 = \begin{pmatrix} 0 \\ 0 \end{pmatrix}, \mathbf{P}_1 = \begin{pmatrix} 1 \\ 2 \end{pmatrix}, \mathbf{P}_2 = \begin{pmatrix} 3 \\ 1 \end{pmatrix}, \mathbf{P}_3 = \begin{pmatrix} 2 \\ 0 \end{pmatrix}, \mathbf{P}_4 = \begin{pmatrix} 4 \\ -1 \end{pmatrix}$$

in parameter  $t = 3/4$ .

- ▶ 1. korak: definirajmo  $\mathbf{b}_j^0 := \mathbf{P}_j$ ,  $j = 0, 1, 2, 3, 4$ .
- ▶ 2. korak: izračunajmo

$$\mathbf{b}_j^1 = (1 - t) \mathbf{b}_j^0 + t \mathbf{b}_{j+1}^0, \quad j = 0, 1, 2, 3,$$

torej

$$\mathbf{b}_0^1 = \begin{pmatrix} 3/4 \\ 3/2 \end{pmatrix}, \mathbf{b}_1^1 = \begin{pmatrix} 5/2 \\ 5/4 \end{pmatrix}, \mathbf{b}_2^1 = \begin{pmatrix} 9/4 \\ 1/4 \end{pmatrix}, \mathbf{b}_3^1 = \begin{pmatrix} 7/2 \\ -3/4 \end{pmatrix}.$$

- 3. korak: **izračunajmo**

$$\mathbf{b}_j^2 = (1 - t) \mathbf{b}_j^1 + t \mathbf{b}_{j+1}^1, \quad j = 0, 1, 2,$$

torej

$$\mathbf{b}_0^2 = \begin{pmatrix} 33/16 \\ 21/16 \end{pmatrix}, \quad \mathbf{b}_1^2 = \begin{pmatrix} 37/16 \\ 1/2 \end{pmatrix}, \quad \mathbf{b}_2^2 = \begin{pmatrix} 51/16 \\ -1/2 \end{pmatrix}.$$

- 4. korak: **izračunajmo**

$$\mathbf{b}_j^3 = (1 - t) \mathbf{b}_j^2 + t \mathbf{b}_{j+1}^2, \quad j = 0, 1,$$

torej

$$\mathbf{b}_0^3 = \begin{pmatrix} 9/4 \\ 45/64 \end{pmatrix}, \quad \mathbf{b}_1^3 = \begin{pmatrix} 95/32 \\ -1/4 \end{pmatrix}.$$

- 5. korak: **izračunajmo**

$$\mathbf{b}_j^4 = (1 - t) \mathbf{b}_j^3 + t \mathbf{b}_{j+1}^3, \quad j = 0,$$

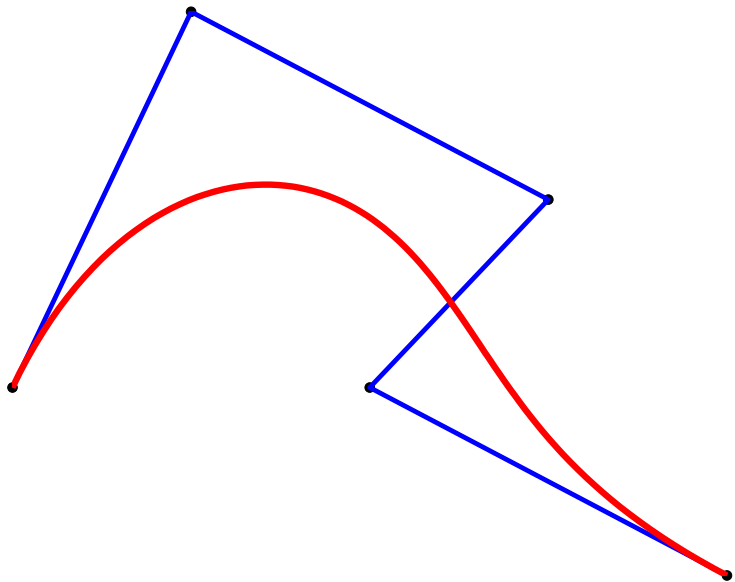
torej

$$\mathbf{b}_0^4 = \begin{pmatrix} 357/128 \\ -3/256 \end{pmatrix}.$$

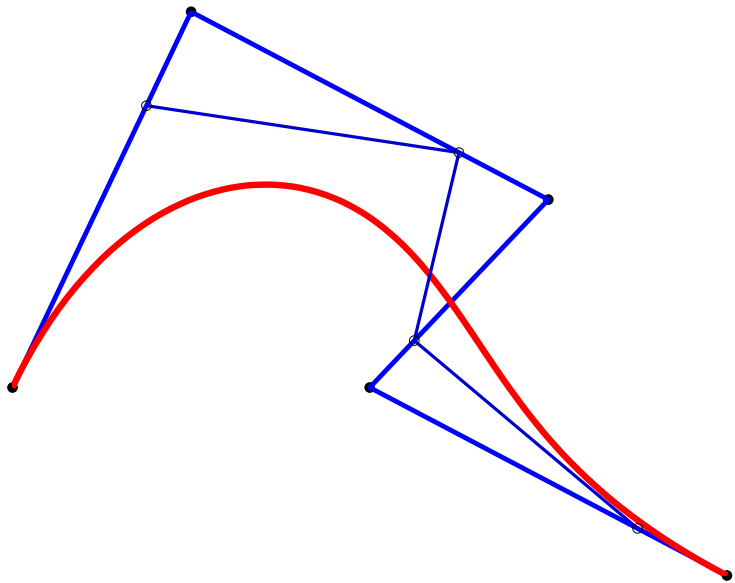
Izkaže se, da je

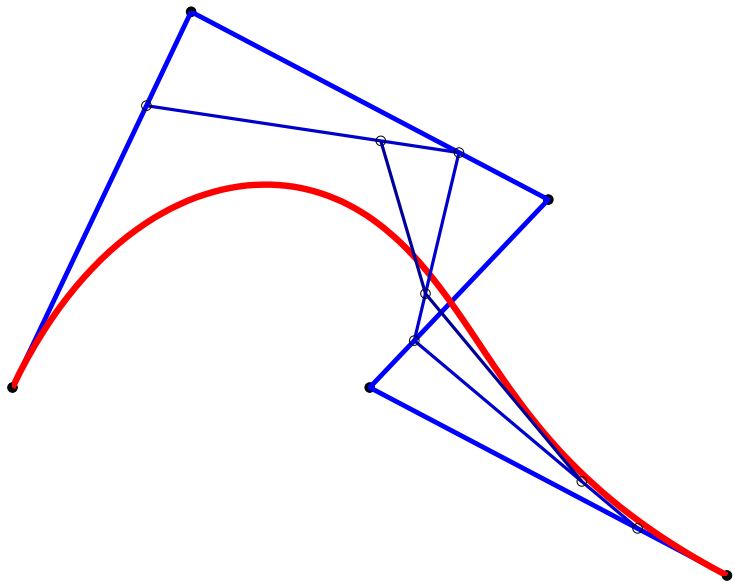
$$\mathbf{b}(t) = \mathbf{b}_0^4.$$

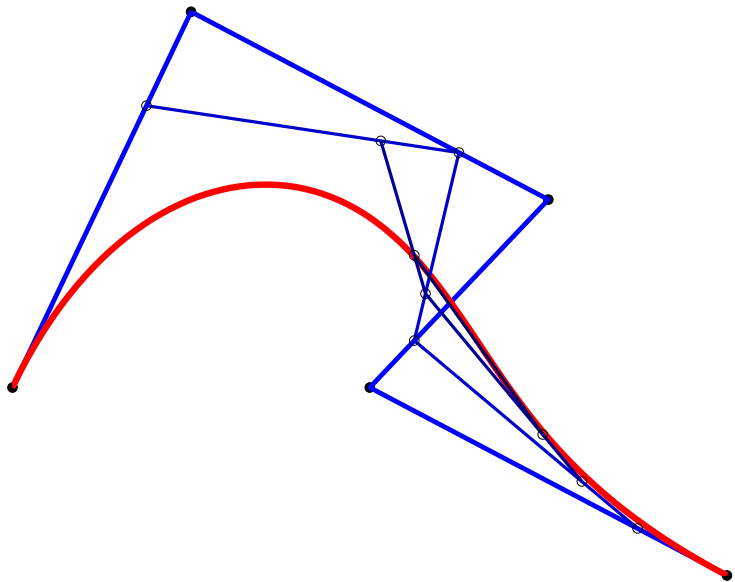
Oglejmo si še grafični prikaz računanja:

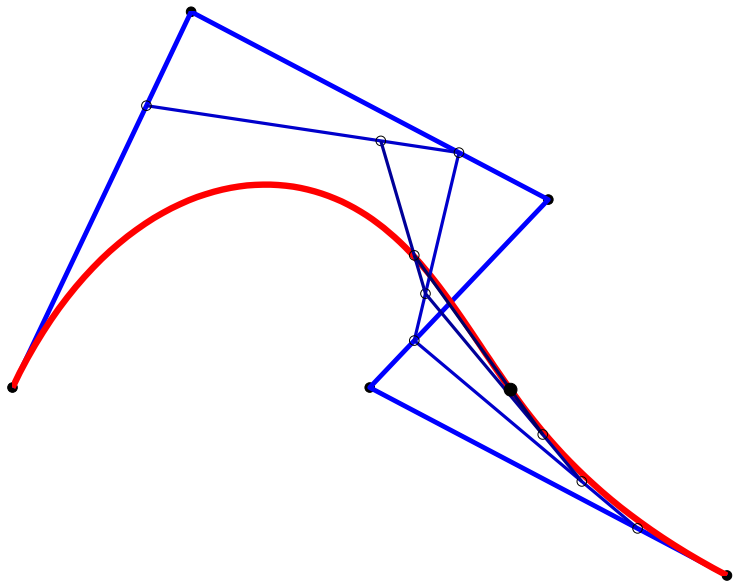












Splošni de Casteljauov algoritem se torej glasi:

## Algoritem

**Podatki:**  $P_0, P_1, \dots, P_n \in \mathbb{R}^2$  in  $t \in [0, 1]$ .

**Definirajmo:**  $b_j^0(t) = P_j, j = 0, 1, \dots, n$ .

**Ponavljajmo:**

$$b_j^k(t) = (1 - t) b_j^{k-1} + t b_{j+1}^{k-1}(t), \quad k = 1, 2, \dots, n, \\ j = 0, 1, \dots, n - k.$$

**Izhod:**  $b_0^n(t)$  je točka na Bézierovi krivulji pri parametru  $t$ .



- ▶ de Casteljauov algoritem pa je **veliko več** kot samo način izračuna točke na krivulji.
- ▶ Vmesne točke pri de Casteljauovem algoritmu podajo dodatno informacijo o krivulji.
- ▶ Vemo, da je  $\mathbf{b}_0^n$  točka **na krivulji**, obenem pa dobimo še kontrolne točke dveh delov krivulje.

$$\begin{array}{ccccccc}
 \mathbf{b}_0^0 & & & & & & \\
 \mathbf{b}_1^0 & \mathbf{b}_0^1 & & & & & \\
 \mathbf{b}_2^0 & \mathbf{b}_1^1 & \ddots & & & & \\
 \vdots & \vdots & \ddots & \mathbf{b}_0^{n-1} & & & \\
 \mathbf{b}_n^0 & \mathbf{b}_{n-1}^1 & \cdots & \mathbf{b}_1^{n-1} & \mathbf{b}_0^n & & 
 \end{array}$$

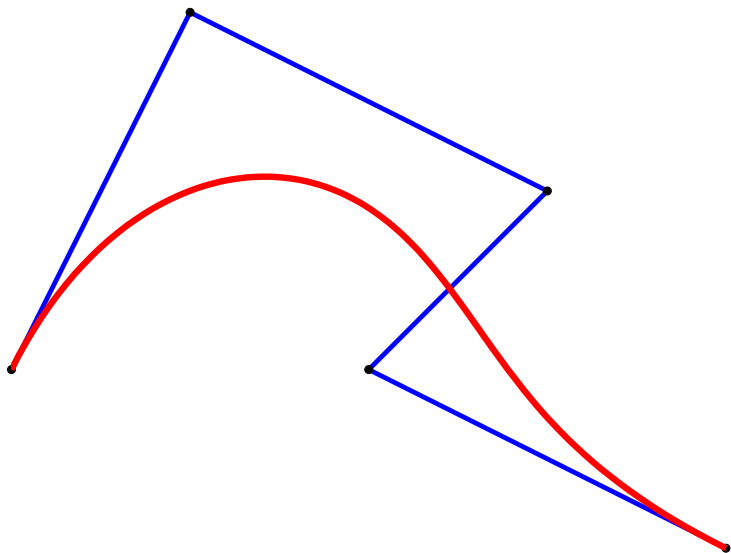
**Rdeče** točke predstavljajo kontrolne točke dela krivulje na eni strani točke  $\mathbf{b}_0^n$ , **rožnate** pa kontrolne točke na drugi strani te točke.

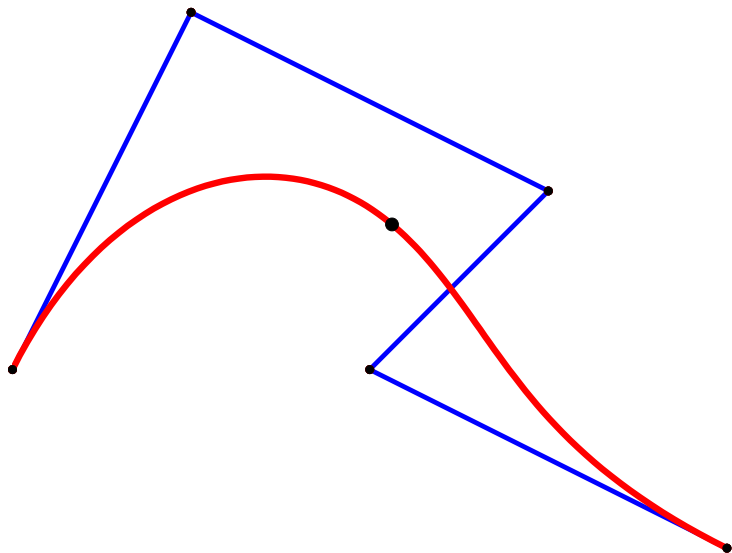
Oglejmo si že znani primer krivulje s kontrolnimi točkami

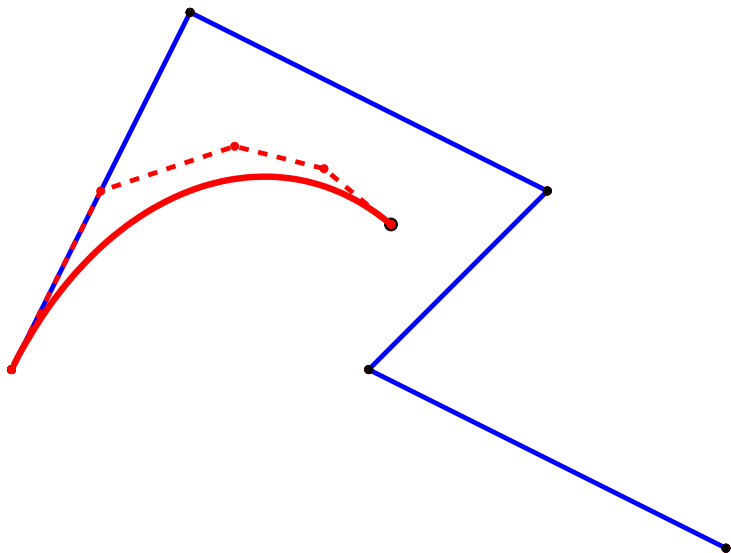
$$\mathbf{P}_0 = \begin{pmatrix} 0 \\ 0 \end{pmatrix}, \mathbf{P}_1 = \begin{pmatrix} 1 \\ 2 \end{pmatrix}, \mathbf{P}_2 = \begin{pmatrix} 3 \\ 1 \end{pmatrix}, \mathbf{P}_3 = \begin{pmatrix} 2 \\ 0 \end{pmatrix}, \mathbf{P}_4 = \begin{pmatrix} 4 \\ -1 \end{pmatrix}$$

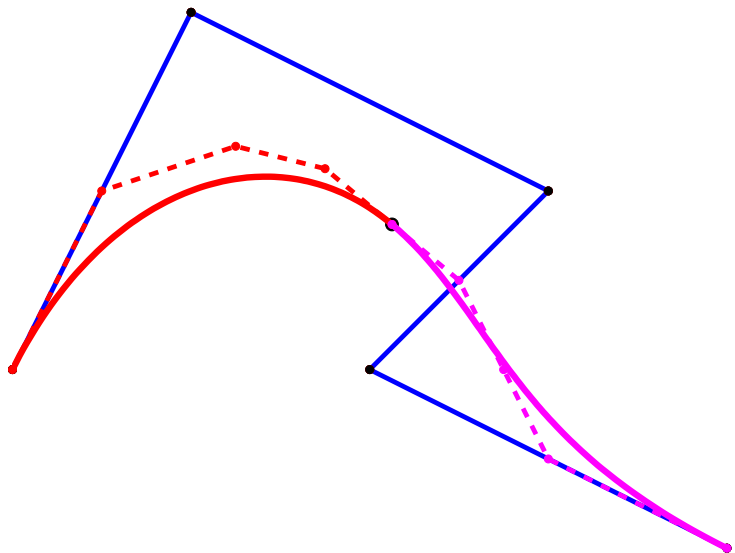
in izberimo  $t = 1/2$ .

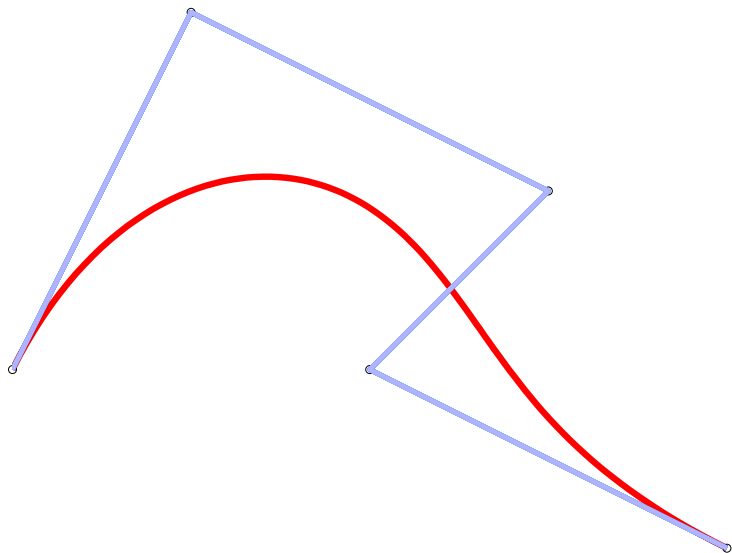


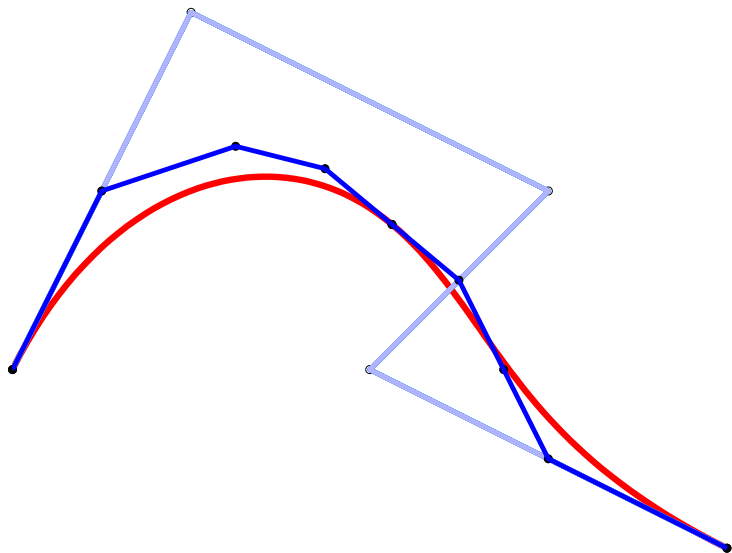


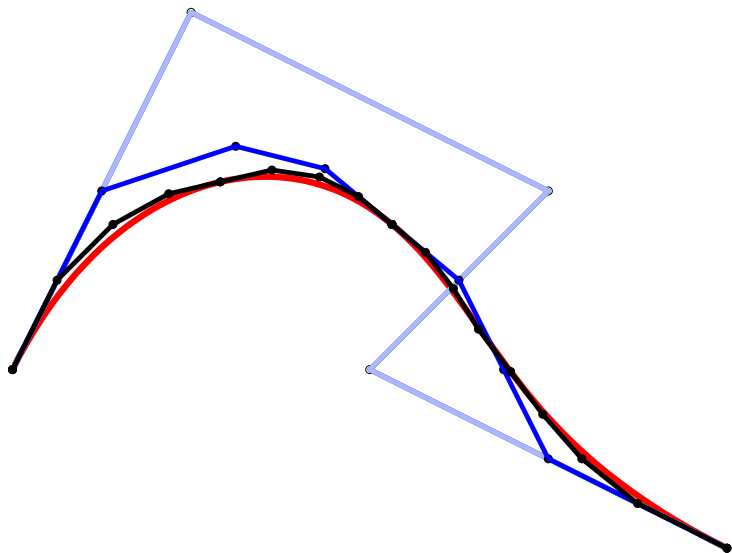












Povzemimo **prednosti** de Casteljauovega algoritma pred računanjem neposredno po formuli

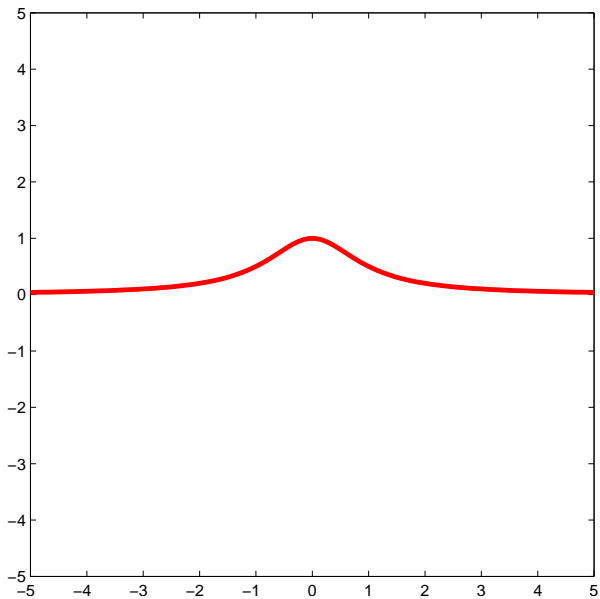
$$\mathbf{b}(t) = \sum_{j=0}^n \mathbf{P}_j B_j^n(t), \quad t \in [0, 1],$$

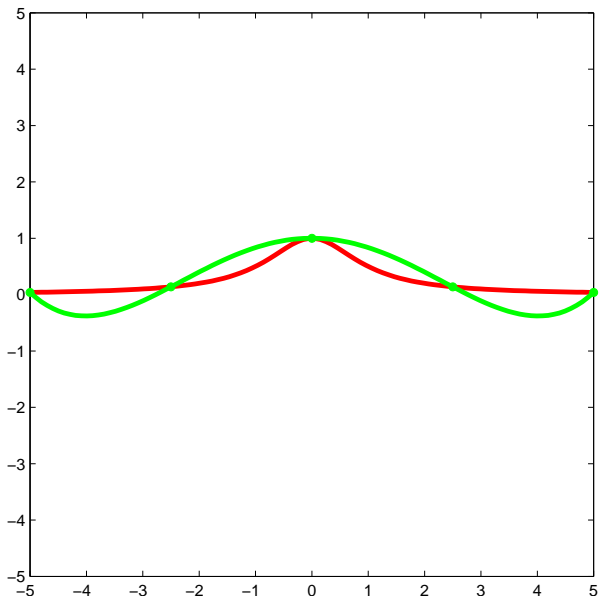
- ▶ Hitrejši izračun.
- ▶ Enostavna implementacija.
- ▶ Stabilnost in manjše numerične napake.
- ▶ Možnost izvajanja subdivizije.

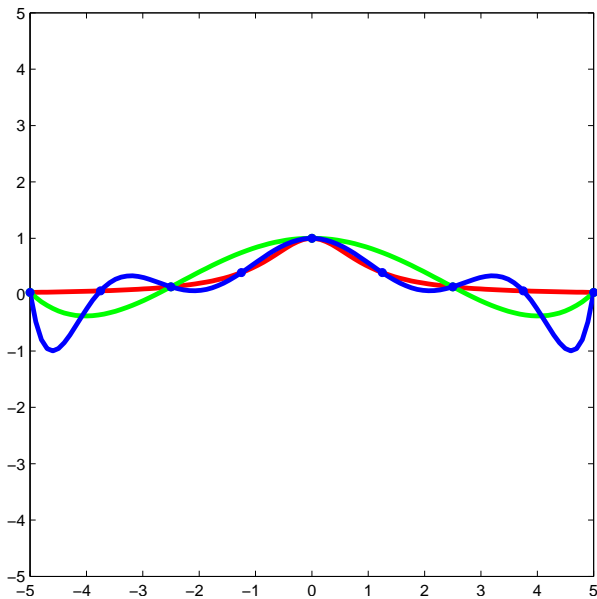


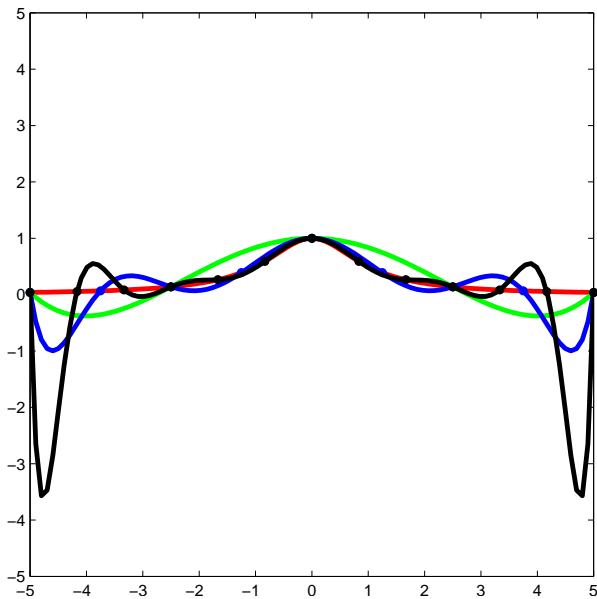
- ▶ Včasih želimo s krivuljo “zadeti” (**interpolirati**) nekaj predpisanih točk.
- ▶ To posredno lahko pomeni, da mora biti **stopnja krivulje velika**.
- ▶ Izkaže se, da je to lahko **težava**.
- ▶ Oglejmo si primer interpolacije točk na krivulji

$$\mathbf{r}(t) = \begin{pmatrix} t \\ (1 + t^2)^{-1} \end{pmatrix}, \quad t \in [-5, 5].$$

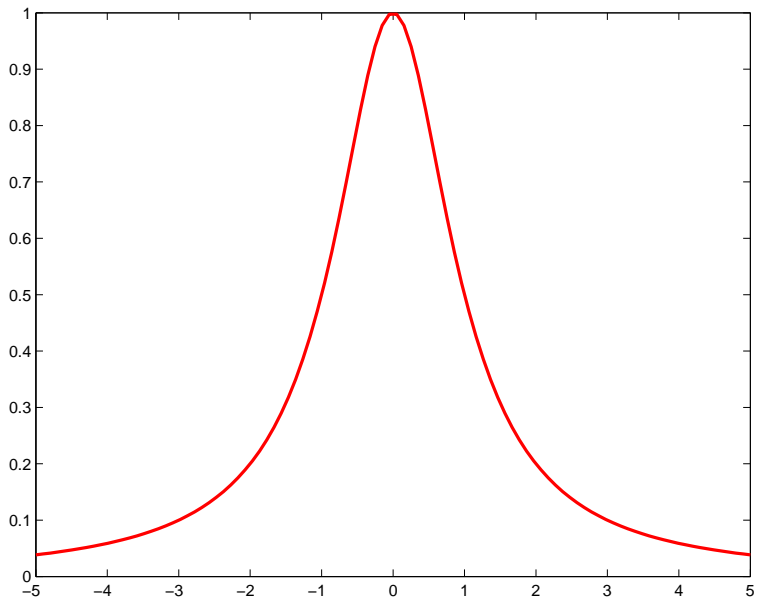


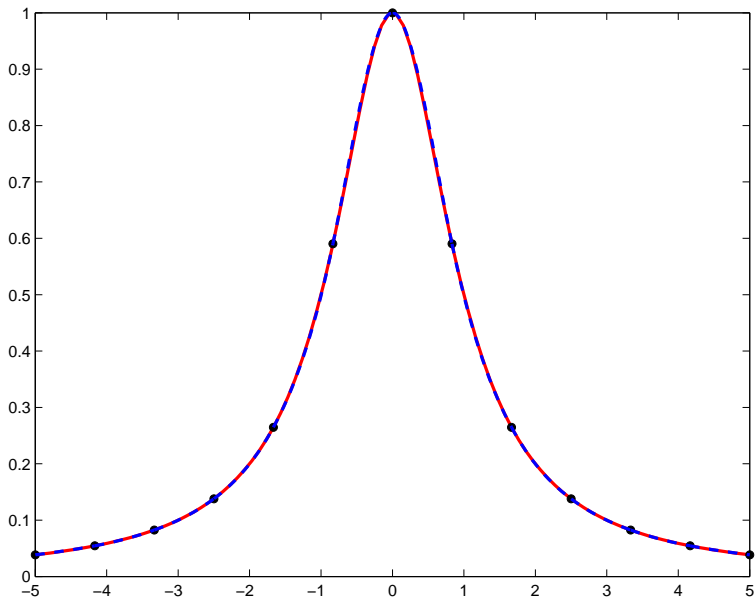






- ▶ Višanje stopnje polinomske krivulje **ni rešitev**.
- ▶ Interpolacijske točke radelimo na manjše skupine in jih **interpoliramo s krivuljami nižje stopnje**.
- ▶ Posamezne interpolacijske **krivulje zlepimo**—→**zlepki**.
- ▶ Poznamo veliko različnih zlepkov.
- ▶ Oglejmo si enega za prejšnji primer podatkov.







- ▶ Obstaja več posplošitev parametričnih krivulj na ploskve.
- ▶ Med najbolj preprostimi so **tenzorski produkti Bézierovih krivulj**.
- ▶ Ponovno jih definiramo s kontrolnimi točkami (**kontrolno mrežo**) in **Bernsteinovimi polinomi**.

- ▶ Formalno jih definiramo takole:

$$\mathbf{s}(u, v) = \sum_{j=0}^m \sum_{k=0}^n \mathbf{P}_{j,k} B_j^m(u) B_k^n(v), \quad u, v \in [0, 1],$$

kjer so  $\mathbf{P}_{j,k} \in \mathbb{R}^3$  kontrolne točke, ki določajo **kontrolno mrežo**.

- ▶ Zanje veljajo podobne lastnosti kot za Bézierjeve krivulje.
- ▶ Še bolj uporabne pa so **trikotne krpe**.

